



Fotoprodução difrativa de Higgs por duplo Pomeron

Gustavo Gil da Silveira

Orientação: Profa. Dra. Maria Beatriz Gay Ducati

Dissertação de Mestrado

Instituto de Física

Universidade Federal do Rio Grande do Sul

Sumário



- Motivações;
- Teoria Eletrofraca:
 - Mecanismo de Higgs;
 - Teoria de Glashow-Weinberg-Salam;
 - Em busca do Higgs.
- Processos Difrativos:
 - Teoria de Regge;
 - Cromodinâmica Quântica;
 - O Pomeron na QCD.
- Modelo KMR;
- Fotoprodução Difrativa;
- Conclusões e Perspectivas.

Motivações



- Os resultados experimentais de LEP indicam um limite inferior de $M_H \gtrsim 114.4 \text{ GeV}$;
 - A busca pela detecção do bóson de Higgs tem se intensificado devido à construção do LHC;
 - As colisões próton-próton em alta energia fornecerão novas oportunidades de observá-lo.
- Os processos difrativos facilitam a análise do estado final devido a presença de lacunas de rapidez;
 - A interação por duplo Pomeron fornece um novo meio de detecção do bóson de Higgs.
- Colisões periferais entre prótons poderão ser analisadas em LHC;
 - A produção de mésons através da interação pela troca de Pomeron é estudada atualmente.
- Estudamos a produção do bóson de Higgs pela interação γp existente em colisões periferais.
 - A interação por duplo Pomeron nos fornece o vértice de produção do bóson de Higgs.

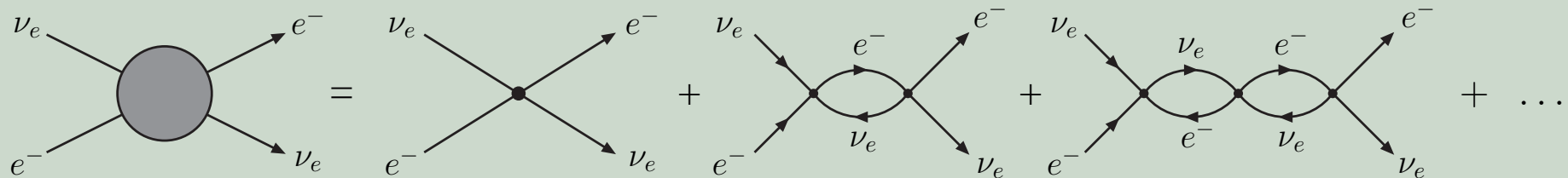
Interações Fracas

- **Primeira proposta:** Teoria relativística de Fermi para a descrição do decaimento do nêutron

$$\mathcal{H} = \mathcal{H}^0 + \frac{G}{\sqrt{2}} \int d^3x J_\mu^{(L)\dagger}(x) J_\mu^{(L)}(x)$$

$$J_\mu^{(L)} = \sum \bar{u}_L(x) \gamma_\mu (1 - \gamma_5) u_{\nu_L}(x)$$

- **Problema:** Seções de choque de processos envolvendo neutrinos crescem com a energia;
 - Processos em ordens mais altas em teoria de perturbação são necessários:



- QED: diagramas de polarização do vácuo → **Divergências:**
 - Torna-se fundamental considerar a interação pela troca de uma partícula virtual sem massa.
- A Interação Fraca exige uma partícula mediadora massiva → **teoria não-renormalizável.**

Mecanismo de Higgs

- Considera-se a interação dos campos físicos com o **campo de Higgs**

$$\varphi(x) = \frac{1}{\sqrt{2}} [\varphi_1(x) + i\varphi_2(x)] \quad \varphi^*(x) = \frac{1}{\sqrt{2}} [\varphi_1(x) - i\varphi_2(x)]$$

descrita pelo Lagrangiano invariante do Grupo SO(2)

$$L_H = (\partial^\mu \varphi)^* (\partial_\mu \varphi) - \mu^2 \varphi^2 - \frac{\lambda}{3!} \varphi^4$$

- Propriedade: transformações **locais** de simetria

$$\tilde{\varphi}(x) = T(x)\varphi(x) = e^{ig\theta(x)}\varphi(x)$$

- O Lagrangiano que satisfaz esta propriedade é dado por

$$L_H = -\frac{1}{4} F^{\mu\nu} F_{\mu\nu} + (D^\mu \varphi)^* (D_\mu \varphi) - \mu^2 \varphi^2 - \frac{\lambda}{3!} \varphi^4$$

com $F^{\mu\nu} = \partial^\nu a^\mu(x) - \partial^\mu a^\nu(x)$ e $D^\mu = \partial^\mu + iga^\mu(x)$.

Quebra espontânea de simetria

- Selecionando um estado de vácuo, o Lagrangiano se transforma $\varphi'_1 = \varphi_1 - \phi_0$

$$L_H = -\frac{1}{4}F^{\mu\nu}F_{\mu\nu} + \frac{1}{2}g^2\phi_0^2 a^\mu a_\mu + \frac{1}{2}[(\partial^\mu \varphi'_1)(\partial_\mu \varphi'_1) - m^2 \varphi_1'^2]$$

$$+ \frac{1}{2}(\partial^\mu \varphi'_2)(\partial_\mu \varphi'_2) - \frac{\lambda}{3!}\phi_0(\varphi_1'^2 + \varphi_2'^2)\varphi'_1 - \frac{\lambda}{4!}(\varphi_1'^2 + \varphi_2'^2)^2 + \dots$$

- Para eliminar o grau de liberdade espúrio, substitui-se
$$\begin{cases} \varphi(x) = \frac{1}{\sqrt{2}}[\rho(x) + a] \exp[ig\omega(x)/a] \\ a_\mu(x) = C_\mu - \frac{1}{a}\partial_\mu\omega(x) \end{cases}$$

$$L_H = -\frac{1}{4}C^{\mu\nu}C_{\mu\nu} + \frac{1}{2}m_C^2 C^\mu C_\mu$$

$$- \frac{1}{2}(\partial^\mu \rho)(\partial_\mu \rho) + \frac{1}{2}m_\rho^2 \rho^2 - \frac{\lambda}{4!}\rho^4 - \frac{\lambda\phi_0}{3!} + \frac{g^2}{2}C^\mu C_\mu(\rho^2 + 2\rho\phi_0)$$

- Campo espúrio $\omega(x)$ é eliminado \rightarrow **bóson de Goldstone;**
- Os campos adquirem massa: $C_\mu: m_C = g\phi_0 \rightarrow$ bóson de gauge;
 $\rho: m_\rho = \sqrt{-2\mu^2} \rightarrow$ **bóson de Higgs.**

Teoria Eletrofraca



- **1960's:** Unificação QED + Interação Fraca \rightarrow Grupo de simetria $SU(2) \otimes U(1)$;
- O Lagrangiano Eletrofraco é descrito por

$$\begin{aligned} \mathcal{L} = & -\frac{1}{4} B_a^{\mu\nu} B_{\mu\nu}^a - \frac{1}{4} F^{\mu\nu} F_{\mu\nu} - \mu^2 \varphi^\dagger \varphi - \frac{\lambda}{3!} (\varphi^\dagger \varphi)^2 + (D_\mu \varphi)^\dagger (D^\mu \varphi) \\ & + \sum_\ell \left[\bar{L}_\ell (i\gamma^\mu D_\mu) L_\ell + \bar{R}_\ell (i\gamma^\mu D_\mu) R_\ell - G_\ell (\bar{L}_\ell \varphi R_\ell + \bar{R}_\ell \varphi^\dagger L_\ell) \right] \end{aligned}$$

onde $B_a^{\mu\nu} = \partial^\mu \phi_a^\nu - \partial^\nu \phi_a^\mu - g\epsilon_{abc} \phi_b^\mu \phi_c^\nu$, com $a = 1, 2, 3$.

- O mecanismo de Higgs permite obter a massa dos campos físicos

$$m_{(e)} \sim \phi_0 G_{(e)}, \quad m_{(\mu)} \sim \phi_0 G_{(\mu)}, \quad m_{(\tau)} \sim \phi_0 G_{(\tau)}$$

$$m_{(Z)}, m_{(W^\pm)} \sim 80 \text{ GeV}$$

$$M_H = \sqrt{-2\mu^2}$$

Fenomenologia

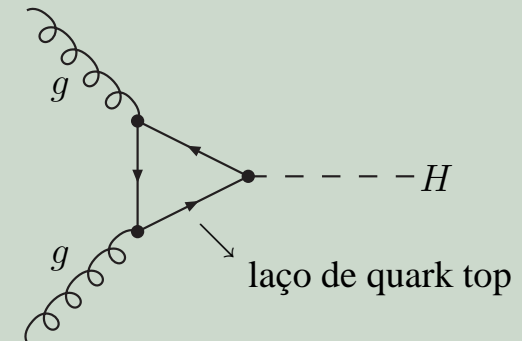


- **1983:** CERN - Fermilab $\longrightarrow m_{(W^\pm)} = 80.5 \pm 0.5 \text{ GeV}, m_{(Z)} = 95.6 \pm 1.4 \text{ GeV}$

- Passo final: detectar o **bóson de Higgs!**

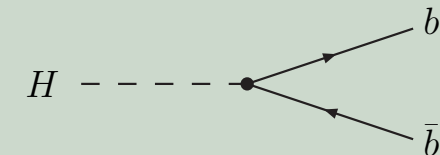
- Vértice dominante: fusão de glúons $gg \rightarrow H$

$$M_H \lesssim 200 \text{ GeV}$$

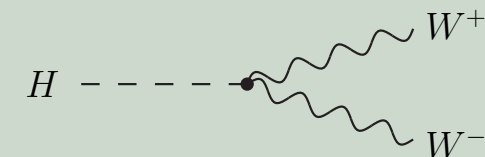


- Detecção do estado final:

- Decaimento em par $b\bar{b}$: $M_H \lesssim 200 \text{ GeV}$



- Decaimento em par W^+W^- : $M_H \gtrsim 200 \text{ GeV}$



- Aplicação em colisões próton-próton: **processos difrativos.**

Variáveis Cinemáticas



- Um ponto importante é definir as variáveis cinemáticas utilizadas:

- Variáveis de Mandelstam:

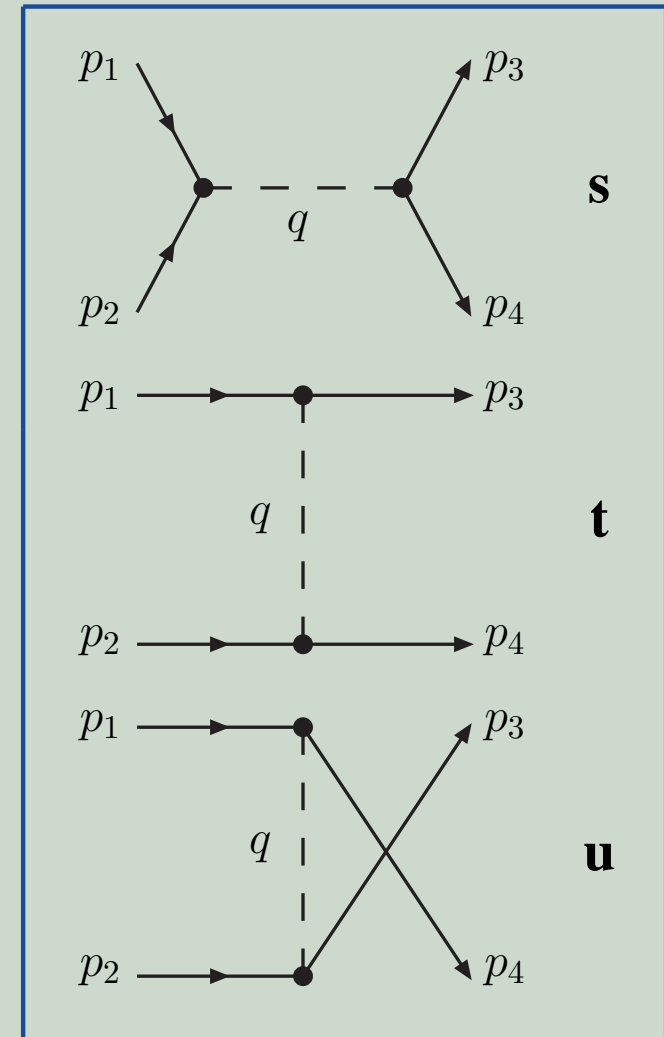
$$s = (p_1 + p_2)^2 \equiv E^2$$

$$t = (p_1 - p_3)^2 \equiv q^2$$

$$u = (p_1 - p_4)^2$$

$$s + t + u = m_1^2 + m_2^2 + m_3^2 + m_4^2$$

- Parâmetro de impacto \vec{b} : distância entre as partículas;
- Fóton virtual: **virtualidade** $Q^2 = -q^2$;
- Variável de Bjorken: $x_{Bj} \equiv x = Q^2 / 2p^\mu q_\mu$;
- Rapidez: $y = \ln \left(\frac{E + p_z}{E - p_z} \right)$

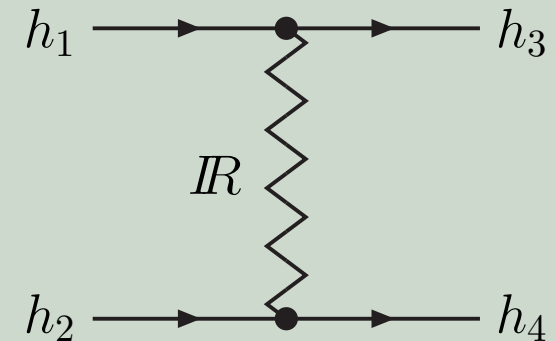


Teoria de Regge

- Primeira teoria fenomenológica para descrever os processos hadrônicos em altas energias;
 - Teoria precedente à Cromodinâmica Quântica (1950);

- Esta teoria prevê a troca de uma família de ressonâncias no canal t ;
- Como resultado, obtém-se para a troca de uma partícula reggeizada

$$A(s, t) \sim \frac{s^{\alpha(t)}}{\text{sen} [\pi\alpha(t)]} \quad \rightarrow \quad \sigma_{total} \sim s^{\alpha(0)-1}$$



- 1960: a seção de choque hadrônica tem comportamento constante para $s \rightarrow \infty$;
 - Atualmente: pequeno crescimento para $\sqrt{s} \sim 2 \text{ TeV}$.
- Postulou-se que a partícula trocada possuía uma intersecção $\alpha(0) \approx 1 \Rightarrow$ **Pomeron**
 - Dados mais atuais revelam que $\alpha(0) \approx 1.08$.
- A Teoria de Regge descreve o Pomeron contendo os **números quânticos do vácuo**.

Cromodinâmica Quântica



- Teoria de gauge não-Abeliana que descreve a interação entre **quarks** e **glúons**;
- Descrita pelo grupo de simetrias SU(3) tendo **cor** como número quântico fundamental

$$\text{Álgebra de Lie: } [T^a, T^b] = if^{abc}T^c$$

- Nesta teoria as transformações de gauge são consideradas locais;
- O Lagrangiano que descreve estas interações é expresso como

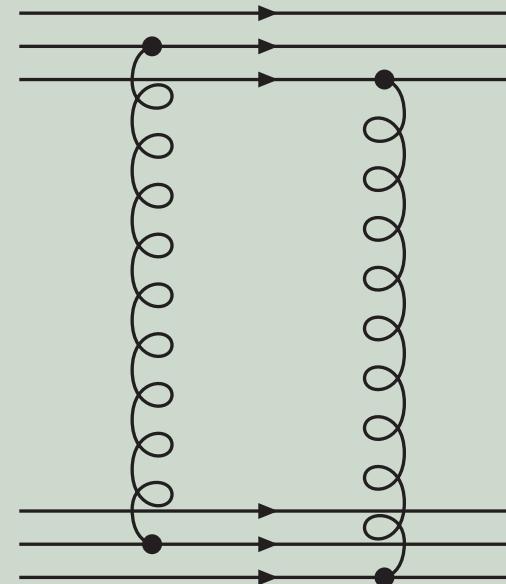
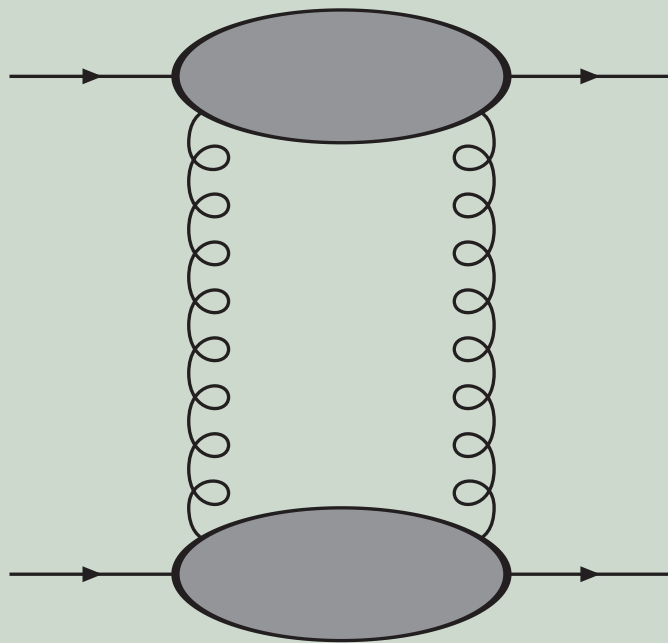
$$\mathcal{L}_{QCD} = -\frac{1}{4}G_{\mu\nu}^a G_a^{\mu\nu} - \bar{\psi} (i\gamma^\mu D_\mu - m) \psi + \mathcal{L}_{FG} + \mathcal{L}_f$$

sendo $G_{\mu\nu}^a = \partial_\mu G_\nu^a - \partial_\nu G_\mu^a - gf_{abc} G_\mu^b G_\nu^c$ e $D_\mu = \partial_\mu - igT_a G_\mu^a$.

- Certos aspectos físicos peculiares são previstos por esta teoria:
 - **Confinamento:** quarks e glúons estão confinados no interior dos hádrons;
 - **Liberdade Assintótica:** em altas energias, quarks e glúons interagem fracamente.

O Pomeron na QCD

- As interações hadrônicas podem ser expressas pelos graus de liberdade da QCD;
- A descrição do Pomeron pode ser feita pela troca de dois glúons no canal t ;
 - Tendo os números quânticos do vácuo, este é o número **mínimo** necessário;



Espalhamento na aproximação $\ln s$

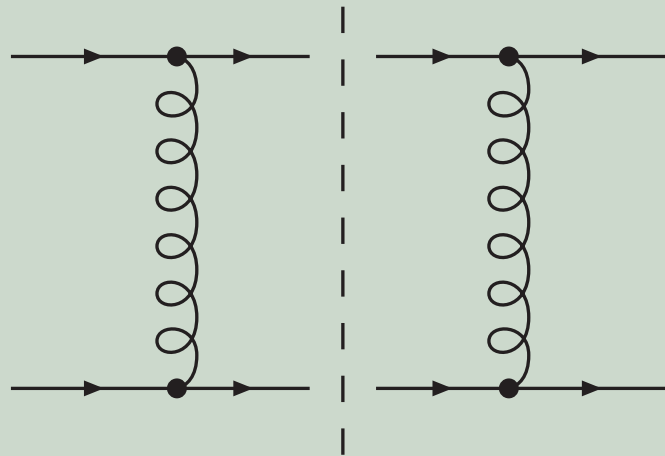


- Estuda-se a troca de glúons no espalhamento quark-quark;
- Os processos que contribuem são:
 - Troca por um laço;
 - Correções radiativas;

Espalhamento na aproximação $\ln s$



- Estuda-se a troca de glúons no espalhamento quark-quark;
- Os processos que contribuem são:
 - **Troca por um laço;**
 - Correções radiativas;

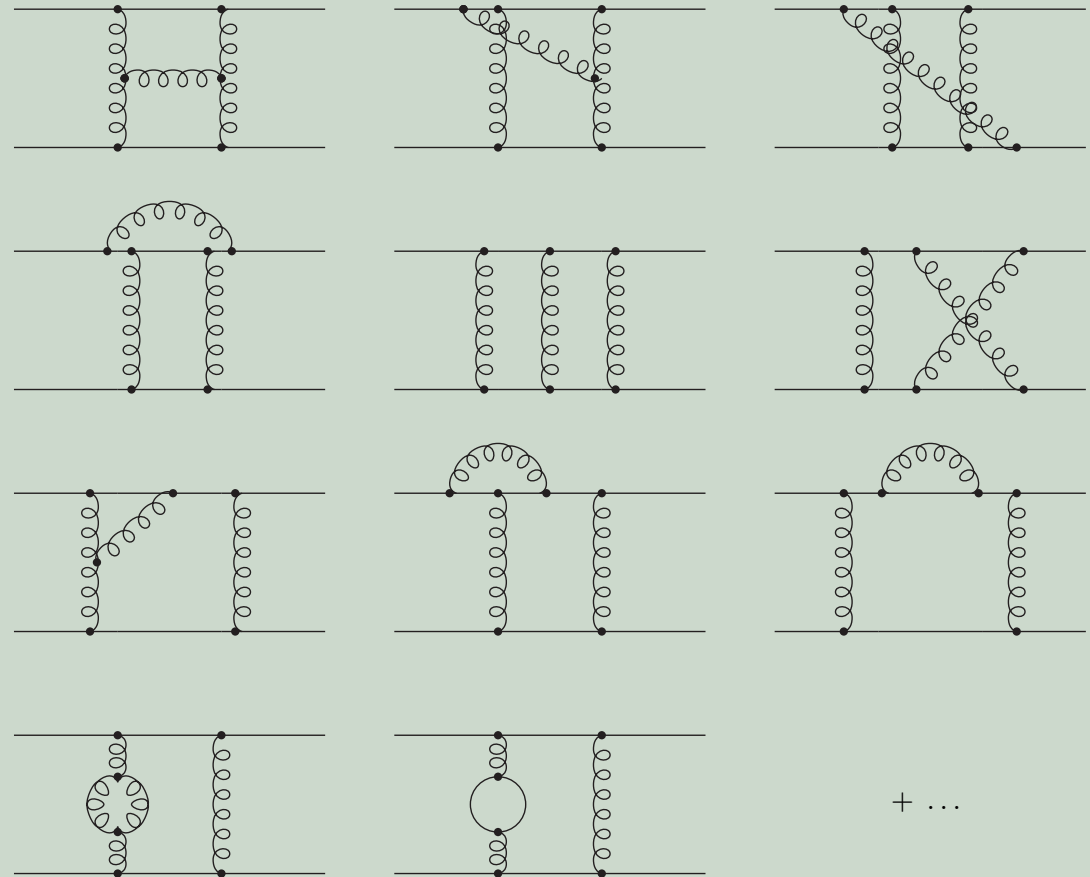


Espalhamento na aproximação $\ln s$



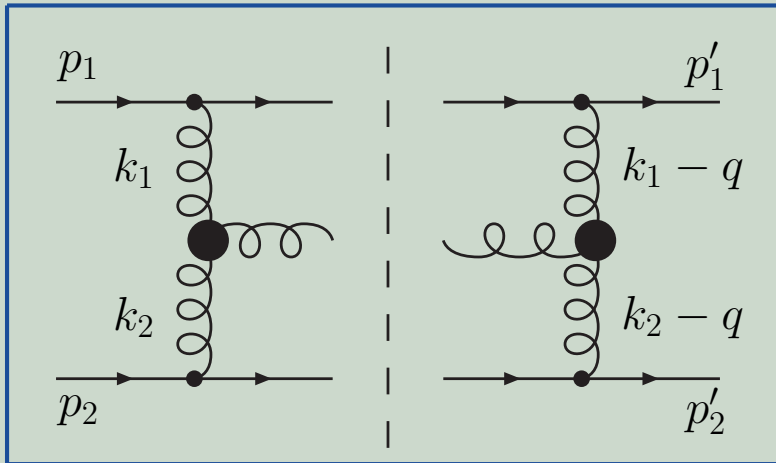
- Estuda-se a troca de glúons no espalhamento quark-quark;
- Os processos que contribuem são:

- Troca por um laço;
- **Correções radiativas;**
 - ⌞ Emissão de glúons reais;
 - ⌞ Emissão de glúons virtuais.

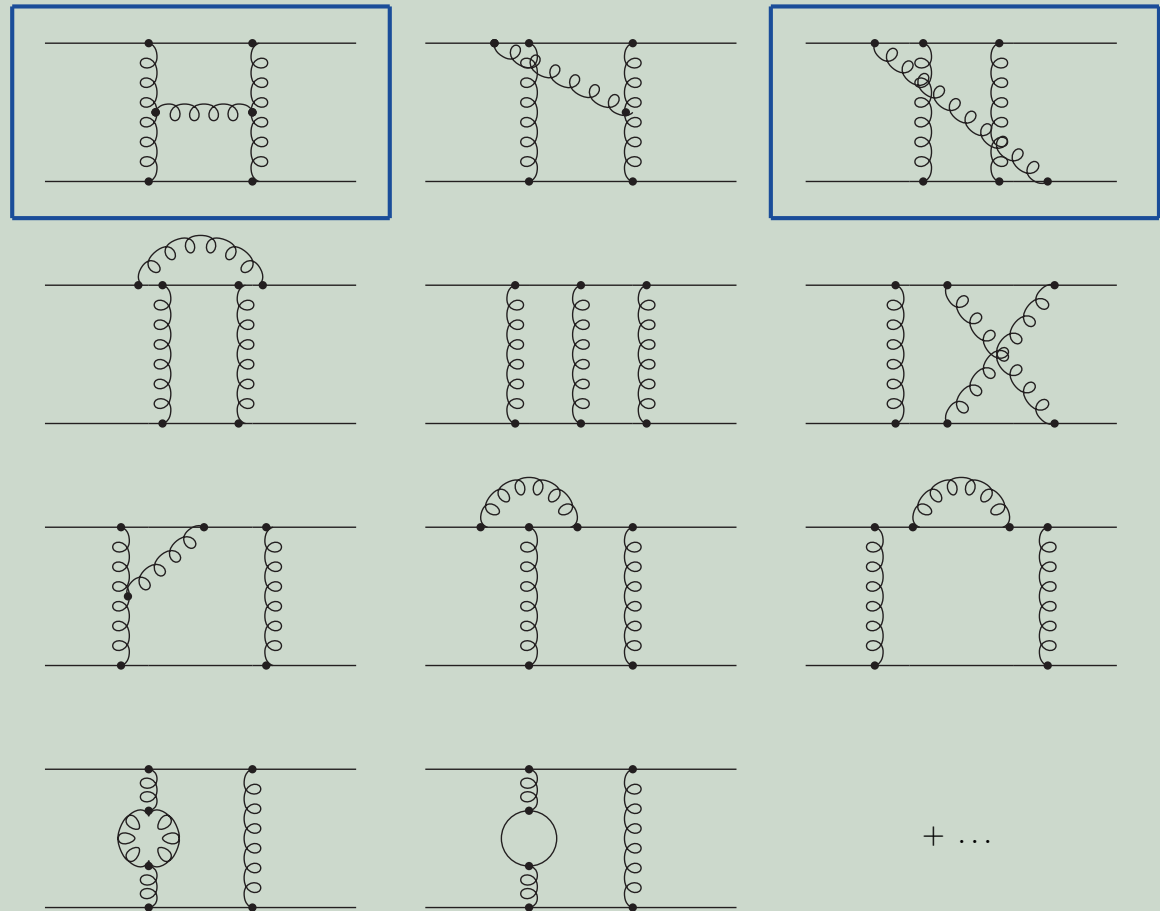


Espalhamento na aproximação $\ln s$

- Estuda-se a troca de glúons no espalhamento quark-quark;
- Os processos que contribuem são:
 - Troca por um laço;
 - **Correções radiativas;**
 - ⤴ **Emissão de glúons reais;**
 - ⤴ Emissão de glúons virtuais.



Vértices Efetivos de Lipatov

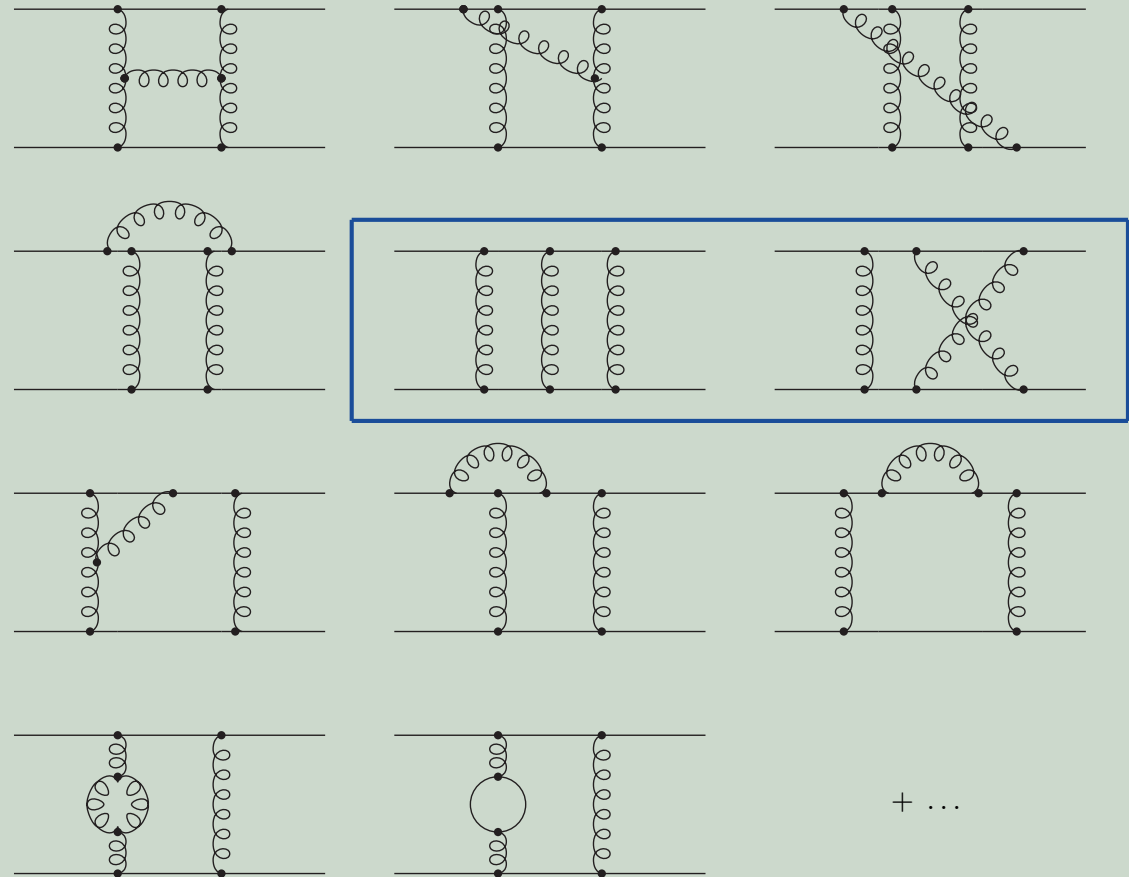


Espalhamento na aproximação $\ln s$



- Estuda-se a troca de glúons no espalhamento quark-quark;
- Os processos que contribuem são:

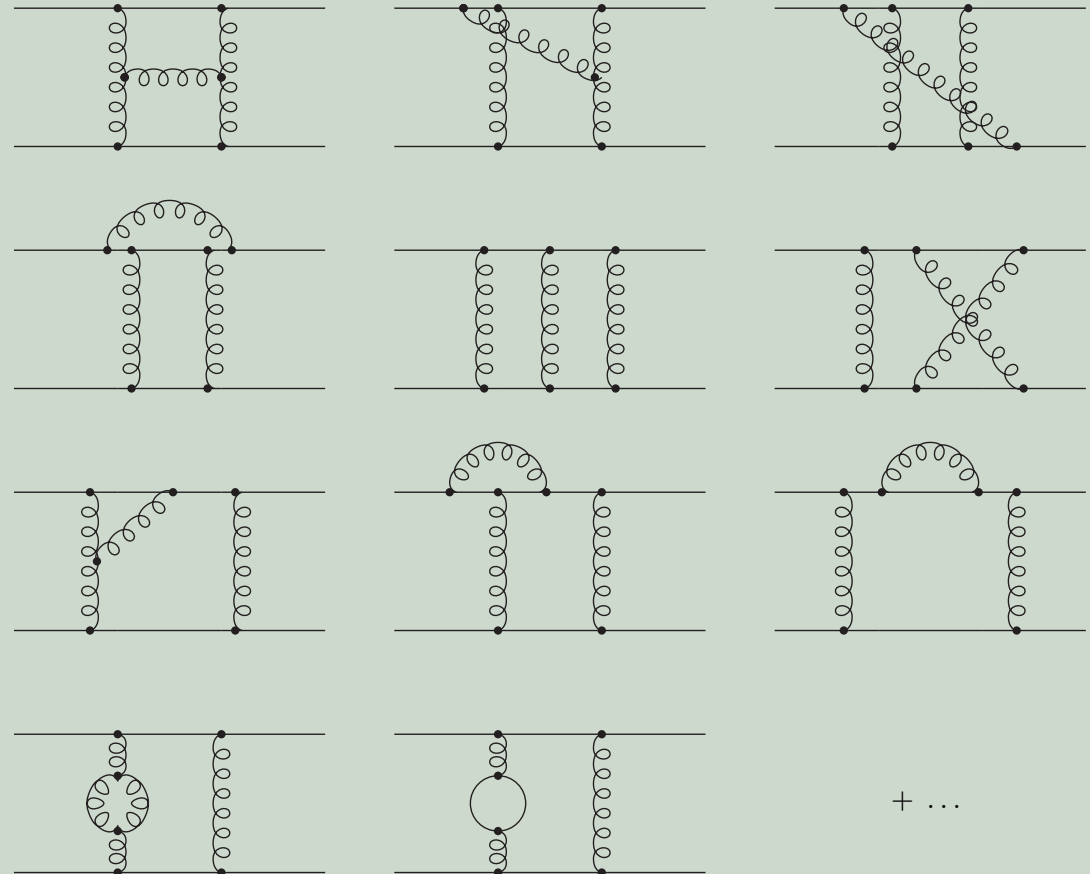
- Troca por um laço;
- **Correções radiativas;**
- ⌞ Emissão de glúons reais;
- ⌞ **Emissão de glúons virtuais.**



Espalhamento na aproximação $\ln s$

- Estuda-se a troca de glúons no espalhamento quark-quark;
- Os processos que contribuem são:

- Troca por um laço;
- Correções radiativas;
- ⤴ Emissão de glúons reais;
- ⤴ Emissão de glúons virtuais.



- Demais diagramas **não** contribuem
→ subdominantes em $\ln s$:

- Correção de vértice;
- Auto-energia;
- Polarização do vácuo.

Escada de glúons BFKL



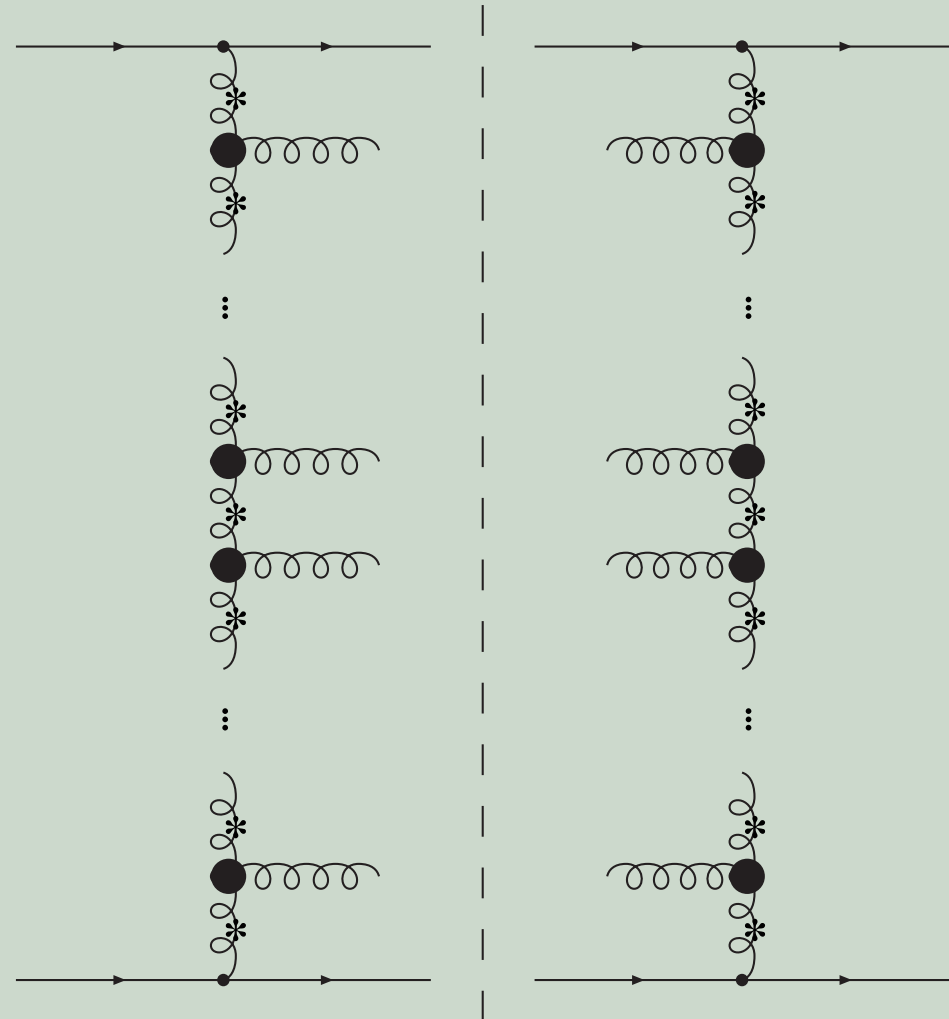
- Estendendo a todas as ordens em teoria de perturbação: **escada de glúons**.

- Glúons reggeizados:

$$D_{\mu\nu}(s_i, k_i^2) = -i \frac{g_{\mu\nu}}{k_i^2} \left(\frac{s}{\vec{k}^2} \right)^{\alpha_g(t)-1}$$

- Fenomenologia em **processos difrativos**:

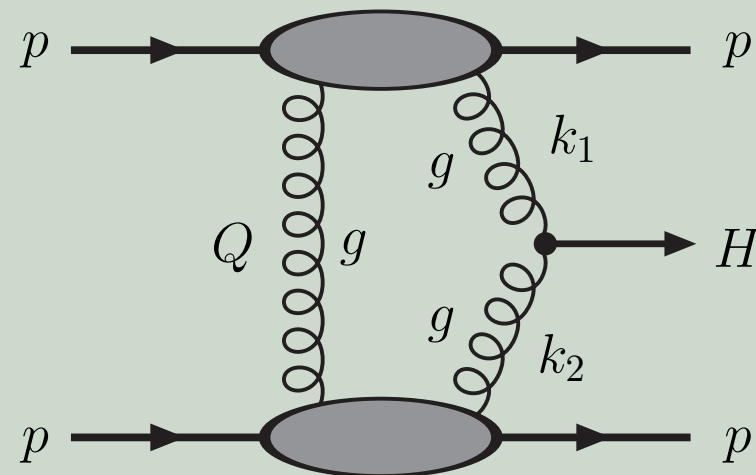
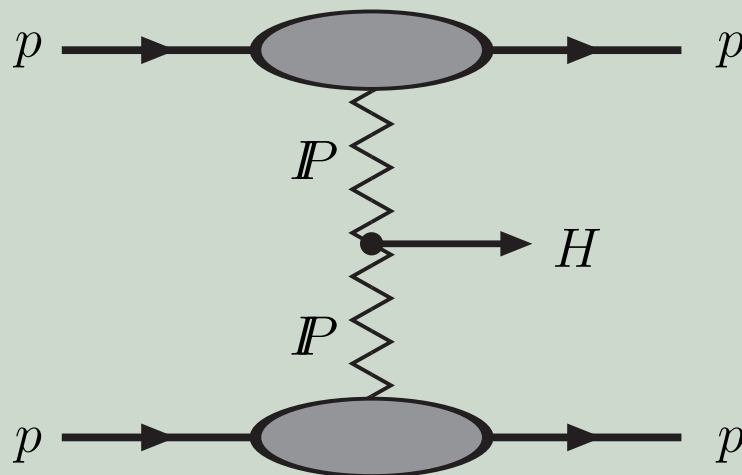
- Troca de números quânticos do vácuo
→ **Pomeron**;
- QCD: escada de glúons;
- Lacuna de rapidez;
- Produção central:
→ **Troca Dupla de Pomerons**.



Modelo KMR



- Estuda a produção central do bóson de Higgs em colisões pp pelo subprocesso $IP \rightarrow H$;
- **Processos difrativos:** produção central pelo vértice de fusão $gg \rightarrow H$;
 - Escolha conveniente devido ao caráter dominante deste processo para massas intermediárias;
 - **Ordem dominante** \rightarrow troca de dois glúons no canal t ;



Amplitude de espalhamento

- O vértice de produção do bóson de Higgs pela fusão de glúons é dado por

$$V_{\mu\nu}^{ab} \approx \frac{2}{3} \frac{M_H^2 \alpha_s}{4\pi v} \delta^{ab} \left(g_{\mu\nu} - \frac{k_{2\mu} k_{1\nu}}{k_1 \cdot k_2} \right)$$

- A amplitude para o processo partônico $qq \rightarrow q + H + q$ pode ser calculada, resultando em

$$\mathcal{M} = A\pi^3 \int d\vec{Q}^2 \frac{\vec{k}_1 \cdot \vec{k}_2}{\vec{Q}^2 \vec{k}_1^2 \vec{k}_2^2} \approx A\pi^3 \int \frac{d\vec{Q}^2}{\vec{Q}^4}$$

onde $A = (\sqrt{2} G_F)^{\frac{1}{2}} \alpha_s (M_H^2) / 3\pi$, com $G_F = 1.166 \times 10^{-5} \text{ GeV}^{-2}$.

- A aproximação utilizada seleciona os processos de espalhamento dos quarks em pequenos ângulos

$$Q = -k_1 = k_2$$

- **Conseqüência:** acesso ao decaimento $H \rightarrow b\bar{b}$ em ordem dominante.

Distribuição de glúons



- Tomando o caso mais realista, substitui-se os quarks por prótons através da identificação

$$\frac{\alpha_s C_F}{\pi} \longrightarrow f_g(x, \vec{Q}^2) = K \left(\frac{\partial [xg(x, \vec{Q}^2)]}{\partial \ln \vec{Q}^2} \right)$$

→ Acoplamento próton-Pomeron: $K = 1.2 \exp(-b\vec{p}/2)$, com $b = 5.5 \text{ GeV}^{-2}$;

- A amplitude pode ser reescrita como

$$\mathcal{M} = A\pi^3 K^2 \int \frac{d\vec{Q}^2}{\vec{Q}^4} f_g(x_1, \vec{Q}^2) f_g(x_2, \vec{Q}^2)$$

- Como observável de interesse, a seção de choque do processo é dada por

$$\frac{d\sigma}{dy_H} \approx \frac{1}{256\pi b^2} \frac{\alpha_s G_F \sqrt{2}}{9} \left[\int \frac{d^2\vec{Q}}{\vec{Q}^4} f_g(x_1, \vec{Q}^2) f_g(x_2, \vec{Q}^2) \right]^2$$

Supressão



- Supressão da radiação de glúons: **fatores de forma de Sudakov**

$$S(\vec{Q}^2, M_H^2) = \int_{\vec{Q}^2}^{M_H^2/4} \frac{C_A \alpha_s(\vec{p}^2)}{\pi} \frac{d\vec{p}^2}{\vec{p}^2} \int_{\vec{p}}^{M_H/2} \frac{dE}{E} = \frac{3\alpha_s}{4\pi} \ln^2 \left(\frac{M_H^2}{4\vec{Q}^2} \right)$$

- Reavaliando os fatores de forma de Sudakov: **emissão de quarks**

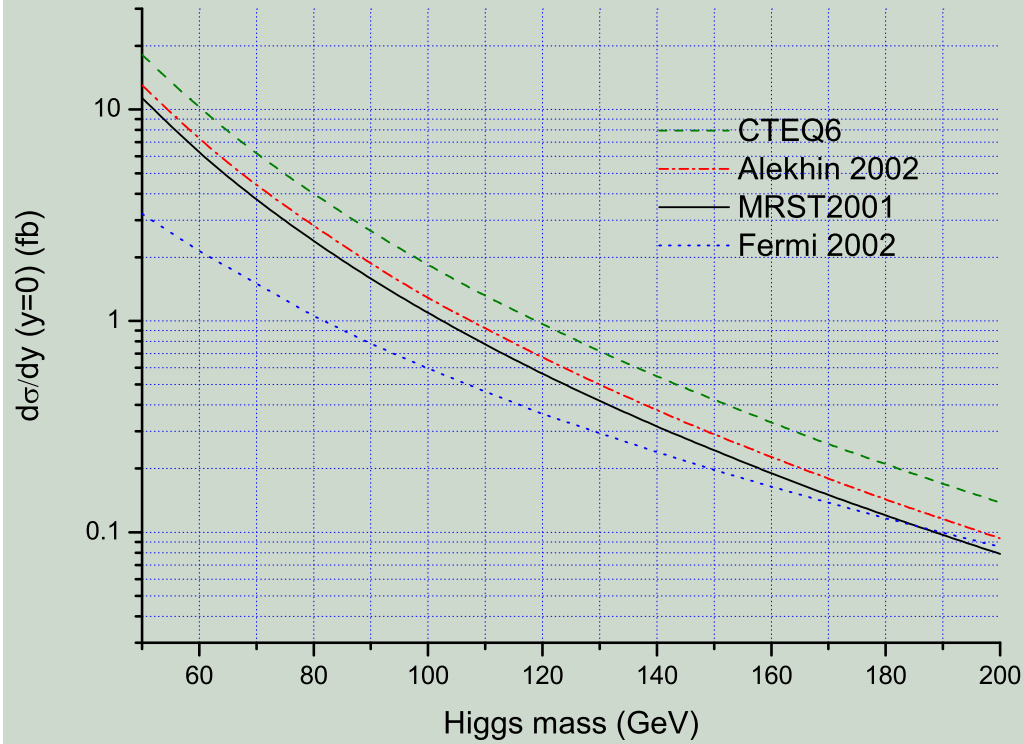
$$S(\vec{Q}^2, M_H^2) = \int_{\vec{Q}^2}^{\mu^2} \frac{\alpha_s(\vec{p}^2)}{4\pi} \frac{d\vec{p}^2}{\vec{p}^2} \int_0^{1-2\vec{p}/M_H} \left[z P_{gg}(z) + \sum_q P_{qg} \right] dz$$

- A probabilidade de **múltiplas** emissões é dada por e^{-S} ;
- A função distribuição é reescrita para a emissão de quarks como

$$\text{glúons: } e^{-S} \rightarrow \mathcal{M} \qquad \text{quarks: } \tilde{f}_g(x_i, \vec{Q}^2) = \frac{\partial}{\partial \ln \vec{Q}^2} \left[e^{-S/2} x_i g(x_i, \vec{Q}^2) \right]$$

- **Resultado:** incremento de um fator de ~ 30 em relação ao resultado anterior.

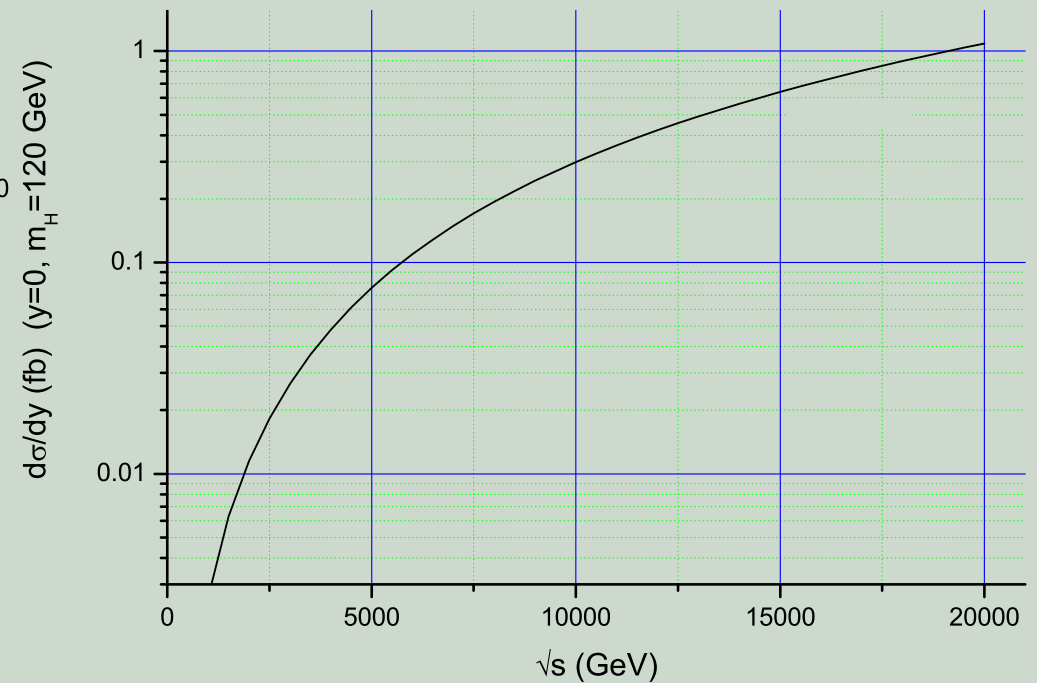
Seção de choque



Forshaw (2005)

Probabilidade de sobrevivência da lacuna de rapidez:

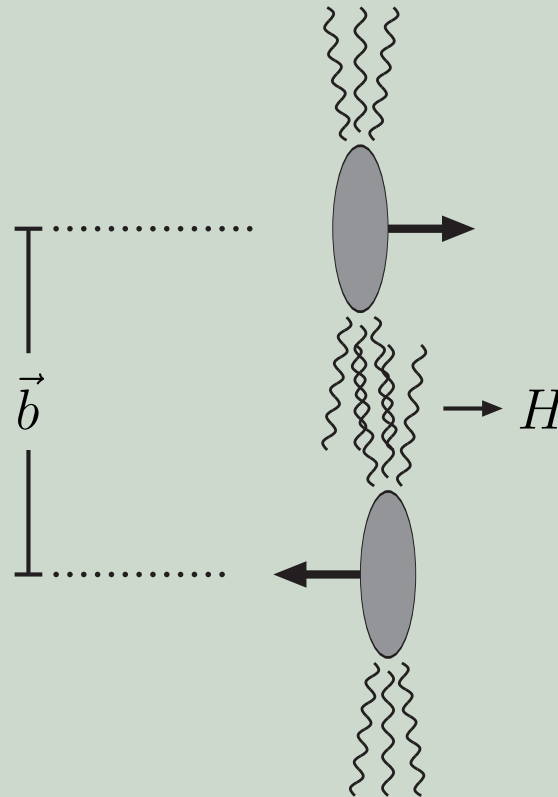
3% (5%) em LHC (Tevatron)



Colisões Periferais



- Colisões entre prótons com parâmetro de impacto $b > 2R$;

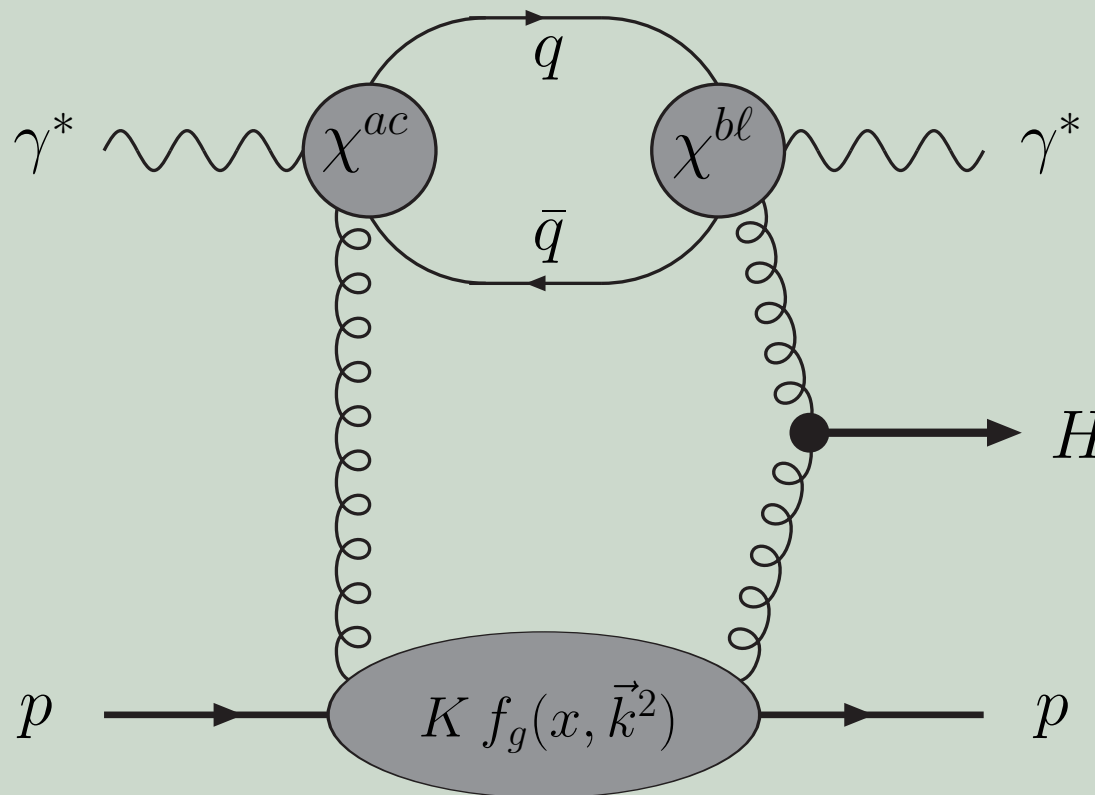


- A interação entre os hádrons em colisão **não** ocorre pela Força Forte:
 - O **Campo de fótons reais** interage durante a colisão → produção do bóson de Higgs!

Fotoprodução difrativa



- A fotoprodução exclusiva propõe a interação entre prótons através do subprocesso γp ;

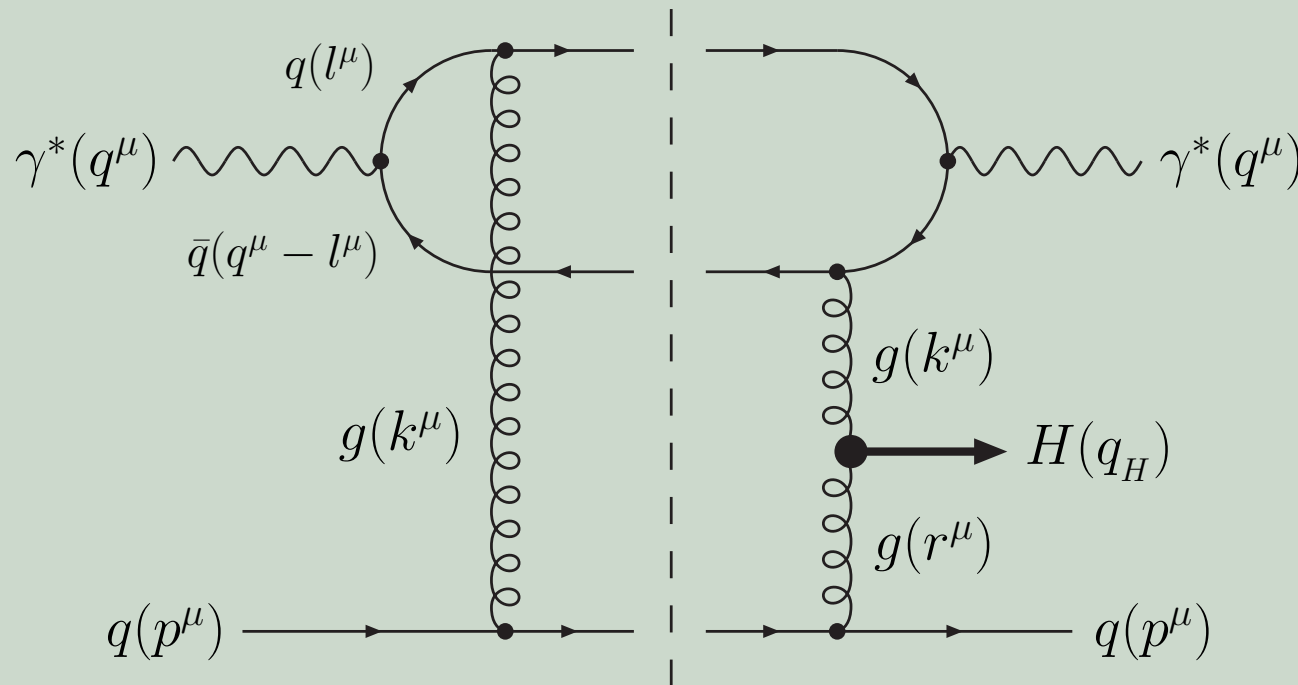


- Os aspectos fenomenológicos aplicados pelo Modelo KMR são empregados à fotoprodução difrativa.

Amplitude de espalhamento

- O cálculo da amplitude do processo partônico é efetuado pelas Regras de Cutkosky

$$\text{Im } A = \frac{1}{2} \int d(PS)_3 \mathcal{A}_E \mathcal{A}_D$$

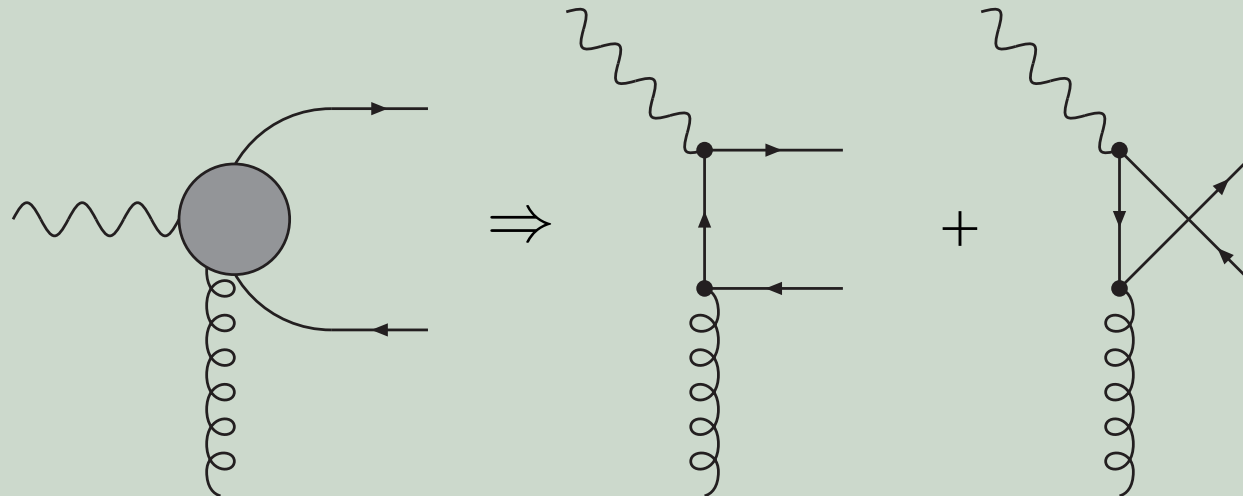


- O laço do desdobramento do fóton inclui o acoplamento com os glúons \rightarrow **fator de impacto** ($t = 0$).

Vértice efetivo



- O acoplamento contribui para a amplitude para cada uma das linhas fermiônicas



- Somando as contribuições, cada lado do laço contribui com um vértice efetivo

$$\chi^{ac} = ig_s ee_q (t^A)_{AB} \left\{ (\gamma^a)_{\alpha\omega} \left[\frac{(\not{l}_1 - \not{q})_{\omega\theta}}{(l_1 - q)^2} \right] (\gamma^c)_{\theta\beta} + (\gamma^c)_{\beta\theta} \left[\frac{(\not{l}_1 - \not{k})_{\theta\omega}}{(l_1 - k)^2} \right] (\gamma^a)_{\omega\alpha} \right\}$$

$$\chi^{bl} = ig_s ee_q (t^F)_{BA} \left\{ (\gamma^\ell)_{\lambda\phi} \left[\frac{(\not{k} - \not{l}_2)_{\phi\eta}}{(k - l_2)^2} \right] (\gamma^b)_{\eta\epsilon} + (\gamma^b)_{\epsilon\eta} \left[\frac{(\not{q} - \not{l}_2)_{\eta\phi}}{(q - l_2)^2} \right] (\gamma^\ell)_{\phi\lambda} \right\}$$

Amplitudes



- Calculando as amplitudes de cada lado do corte, o produto é dado por

$$\begin{aligned}
 \mathcal{A}_E \mathcal{A}_D &= (4\pi)^3 \alpha_s^2 \alpha \sum_q e_q^2 \left(\frac{\epsilon_a \epsilon_b^*}{k^4 r^2} \right) V_{hl}^{CA} \frac{1}{N_c} \left[(t^C)_{\mathcal{P}\mathcal{N}} (t^A)_{\mathcal{N}\mathcal{M}} \right] \\
 &\times 2 \left\{ \frac{1}{l^4} \text{Tr} \left[(\not{d} - \not{l}) \gamma^a \not{l} \gamma^c (\not{k} + \not{l}) \gamma^\ell \not{l} \gamma^b \right] \right. \\
 &\left. + \frac{1}{l^2 (k + l + q)^2} \text{Tr} \left[(\not{d} - \not{l}) \gamma^c (\not{k} + \not{l} - \not{d}) \gamma^a (\not{k} + \not{l}) \gamma^\ell \not{l} \gamma^b \right] \right\} 4p_c p^h
 \end{aligned}$$

onde o vértice qqg é considerado na **aproximação eikonal**.

- Considerando o espaço de fase de três corpos

$$\int d(P\mathcal{S})_3 = \frac{1}{(2\pi)^5} \int d^4 l d^4 k \delta([q - l]^2) \delta([l + k]^2) \delta([p - k]^2)$$

Decomposição de Sudakov



- O tratamento dos quadrimomenta é efetuado pela decomposição de Sudakov

$$\begin{aligned}l^\mu &= \alpha_l q'^\mu + \beta_l p^\mu + l_\perp^\mu \\k^\mu &= \alpha_k q'^\mu + \beta_k p^\mu + k_\perp^\mu \\r^\mu &= \alpha_r q'^\mu + \beta_r p^\mu + r_\perp^\mu\end{aligned}$$

onde os momenta obedecem

$$q'^\mu = q^\mu + x p^\mu \quad q'^2, p^2 = 0$$

- O espaço de fase de três corpos se reduz a

$$\begin{aligned}\int d(P S)_3 &= \int d\alpha_l d\alpha_k d\beta_l d\beta_k d^2\vec{l} d^2\vec{k} \\&\times \delta\left(\beta_l + \frac{Q^2}{s} + \frac{\vec{l}^2}{s(1-\alpha_l)}\right) \delta\left(\beta_k + \frac{(\vec{l} + \vec{k})^2}{\alpha_l s} + \beta_l\right) \delta(\alpha_k s + \vec{k}^2).\end{aligned}$$

Parte imaginária

- Calculando a parte imaginária da amplitude pelas Regras de Cutkosky resulta em

$$\begin{aligned} \text{Im}A &= \frac{1}{s} \left(\frac{2}{\pi^2} \right) \alpha_s^2 \alpha \sum_q e_q^2 \left(\frac{\epsilon_a \epsilon_b^*}{N_c} \right) \left[(t^A)_{\mathcal{P}\mathcal{N}} (t^A)_{\mathcal{N}\mathcal{M}} \right] \\ &\times \int d\alpha_l \frac{d^2 \vec{k}}{\vec{k}^6} d^2 \vec{l} \left\{ \frac{(1 - \alpha_l) T^{aclb}}{\alpha_l (D_1)^2} + \frac{T^{calb}}{D_1 D_2} \right\} V \left[p_c p_\ell - \frac{(k \cdot p)}{\vec{k}^2} p_c r_\ell \right] \end{aligned}$$

onde $D_1 = \alpha_l(1 - \alpha_l)Q^2 + \vec{l}^2$ e $D_2 = \alpha_l(1 - \alpha_l)Q^2 + (\vec{l} + \vec{k})^2$;

- A integração das deltas de Dirac levam a novos coeficientes para os momenta

$$\begin{aligned} l^\mu &= \alpha_l q'^\mu - \left(Q^2 + \frac{\vec{l}^2}{1 - \alpha_l} \right) \frac{p^\mu}{s} + l_\perp^\mu \\ k^\mu &= -\frac{\vec{k}^2}{s} q'^\mu + \left(Q^2 + \frac{\vec{l}^2}{1 - \alpha_l} + \frac{(\vec{l} + \vec{k})^2}{\alpha_l} \right) \frac{p^\mu}{s} + k_\perp^\mu \end{aligned}$$

- Interação pela troca de Pomerons **macios** \rightarrow despreza-se α_k .

Polarizações



- As últimas quantidades físicas a serem determinadas são as polarizações dos fótons para $t = 0$

$$\begin{aligned}\epsilon_a^L \epsilon_b^{L*} &= \frac{4Q^2}{s} \frac{p_a p_b}{s} \\ \sum \epsilon_a^T \epsilon_b^{T*} &= -g_{ab} + \frac{4Q^2}{s} \frac{p_a p_b}{s}\end{aligned}$$

- Se torna possível efetuar a integração em relação à variável \vec{l} , resultando em

$$(\text{Im}A)_T = \frac{M_H^2 \alpha_s^3 \alpha}{6\pi v} \sum_q e_q^2 \left(\frac{2C_F}{N_c} \right) \int d\vec{k}^2 \left[\frac{20s}{3\vec{k}^6} - \frac{4Q^2 s}{\vec{k}^6} \int \frac{(-1 + 2\alpha_l + 4\alpha_l^2 - 8\alpha_l^3 + 4\alpha_l^4) d\alpha_l d\tau}{\vec{k}^2(\tau - \tau^2) + Q^2 \alpha_l(1 - \alpha_l)} \right]$$

$$(\text{Im}A)_L = -\frac{M_H^2 \alpha_s^3 \alpha}{6\pi v} \sum_q e_q^2 \left(\frac{2C_F}{N_c} \right) \int d\vec{k}^2 \left[\frac{8s}{3\vec{k}^6} - \frac{16Q^2 s}{\vec{k}^6} \int \frac{(\alpha_l^2 - 2\alpha_l^3 + 4\alpha_l^4) d\alpha_l d\tau}{\vec{k}^2(\tau - \tau^2) + Q^2 \alpha_l(1 - \alpha_l)} \right]$$

- Colisões periferais \rightarrow **fóton real**: $Q^2 = 0 \rightarrow$ Somente componente **transversal** contribui.

Polarizações



- As últimas quantidades físicas a serem determinadas são as polarizações dos fótons para $t = 0$

$$\begin{aligned}\epsilon_a^L \epsilon_b^{L*} &= \frac{4Q^2}{s} \frac{p_a p_b}{s} \\ \sum \epsilon_a^T \epsilon_b^{T*} &= -g_{ab} + \frac{4Q^2}{s} \frac{p_a p_b}{s}\end{aligned}$$

- Se torna possível efetuar a integração em relação à variável \vec{l} , resultando em

$$(\text{Im}A)_T = \frac{M_H^2 \alpha_s^3 \alpha}{6\pi v} \sum_q e_q^2 \left(\frac{2C_F}{N_c} \right) \int d\vec{k}^2 \left[\frac{20s}{3\vec{k}^6} \right]$$

$$(\text{Im}A)_L = -\frac{M_H^2 \alpha_s^3 \alpha}{6\pi v} \sum_q e_q^2 \left(\frac{2C_F}{N_c} \right) \int d\vec{k}^2 \left[\frac{8s}{3\vec{k}^6} \right]$$

- Colisões periferais \rightarrow **fóton real**: $Q^2 = 0 \rightarrow$ Somente componente **transversal** contribui.

Polarizações



- As últimas quantidades físicas a serem determinadas são as polarizações dos fótons para $t = 0$

$$\begin{aligned}\epsilon_a^L \epsilon_b^{L*} &= \frac{4Q^2}{s} \frac{p_a p_b}{s} \\ \sum \epsilon_a^T \epsilon_b^{T*} &= -g_{ab} + \frac{4Q^2}{s} \frac{p_a p_b}{s}\end{aligned}$$

- Se torna possível efetuar a integração em relação à variável \vec{l} , resultando em

$$(\text{Im}A)_T = \frac{M_H^2 \alpha_s^3 \alpha}{6\pi v} \sum_q e_q^2 \left(\frac{2C_F}{N_c} \right) \int d\vec{k}^2 \left[\frac{20s}{3\vec{k}^6} \right]$$

~~$$(\text{Im}A)_L = \frac{M_H^2 \alpha_s^3 \alpha}{6\pi v} \sum_q e_q^2 \left(\frac{2C_F}{N_c} \right) \int d\vec{k}^2 \left[\frac{8s}{3\vec{k}^6} \right]$$~~

- Colisões periferais \rightarrow **fóton real**: $Q^2 = 0 \rightarrow$ Somente componente **transversal** contribui.

Seção de choque para $y_H = 0$

- Desprezando a integração em relação à α_l tem-se

$$(\text{Im}A)_T = \frac{10}{9} \frac{M_H^2 \alpha_s^3 \alpha_s}{\pi v} \sum_q e_q^2 \left(\frac{2C_F}{N_c} \right) \int \frac{d\vec{k}^2}{\vec{k}^6}$$

- Para rapidez central a seção de choque pode ser expressa como

$$\left. \frac{d\sigma}{dy_H d\vec{p}_H^2} \right|_{y_H=0} = \frac{25}{2^3 81} \left(\frac{M_H^2}{N_c v} \right)^2 \frac{\alpha_s^4 \alpha^2}{\pi^3} \left(\sum_q e_q^2 \right)^2 \left[\frac{\alpha_s C_F}{\pi} \int \frac{d\vec{k}^2}{\vec{k}^6} \right]^2$$

Seção de choque para $y_H = 0$

- Desprezando a integração em relação à α_l tem-se

$$(\text{Im}A)_T = \frac{10}{9} \frac{M_H^2 \alpha_s^3 \alpha_s}{\pi v} \sum_q e_q^2 \left(\frac{2C_F}{N_c} \right) \int \frac{d\vec{k}^2}{\vec{k}^6}$$

- Para rapidez central a seção de choque pode ser expressa como

$$\left. \frac{d\sigma}{dy_H d\vec{p}_H^2} \right|_{y_H=0} = \frac{25}{2^3 81} \left(\frac{M_H^2}{N_c v} \right)^2 \frac{\alpha_s^4 \alpha^2}{\pi^3} \left(\sum_q e_q^2 \right)^2 \left[\frac{\alpha_s C_F}{\pi} \int \frac{d\vec{k}^2}{\vec{k}^6} \right]^2$$

quark

- A seção de choque diferencial final é expressa por

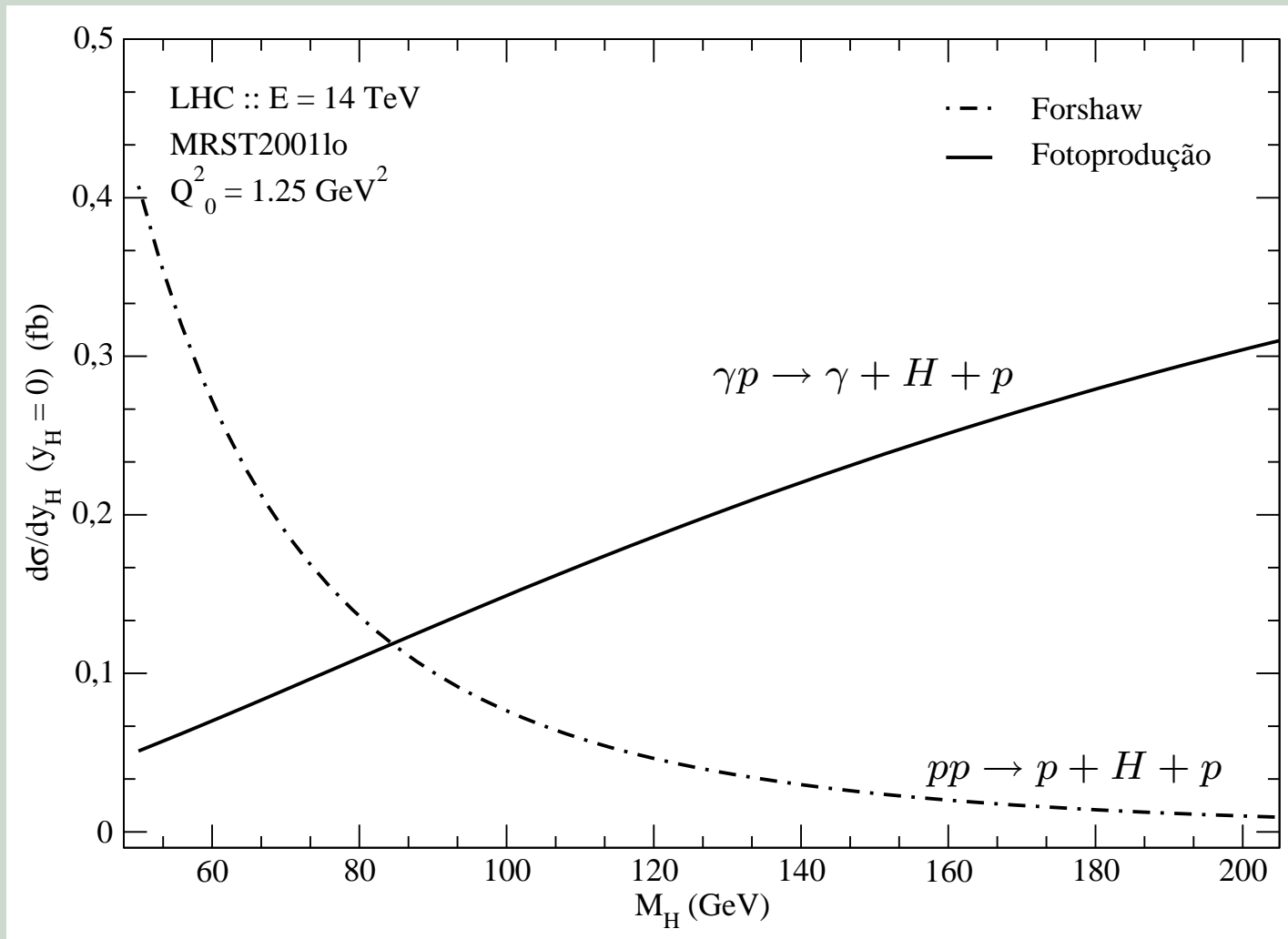
$$\left. \frac{d\sigma}{dy_H} \right|_{y_H=0} = \frac{S_{gap}^2}{18\pi^3 b} \left(\frac{M_H^2}{N_c v} \right)^2 \alpha_s^4 \alpha^2 \left(\sum_q e_q^2 \right)^2 \left[\int \frac{d\vec{k}^2}{\vec{k}^6} e^{-S(\vec{Q}^2, M_H^2)} f_g(x, \vec{k}^2) \right]^2$$

- Probabilidade de sobrevivência da lacuna de rapidez S_{gap}^2 : 3% (5%) em LHC (Tevatron).

Resultados: Forshaw versus Fotoprodução (I)



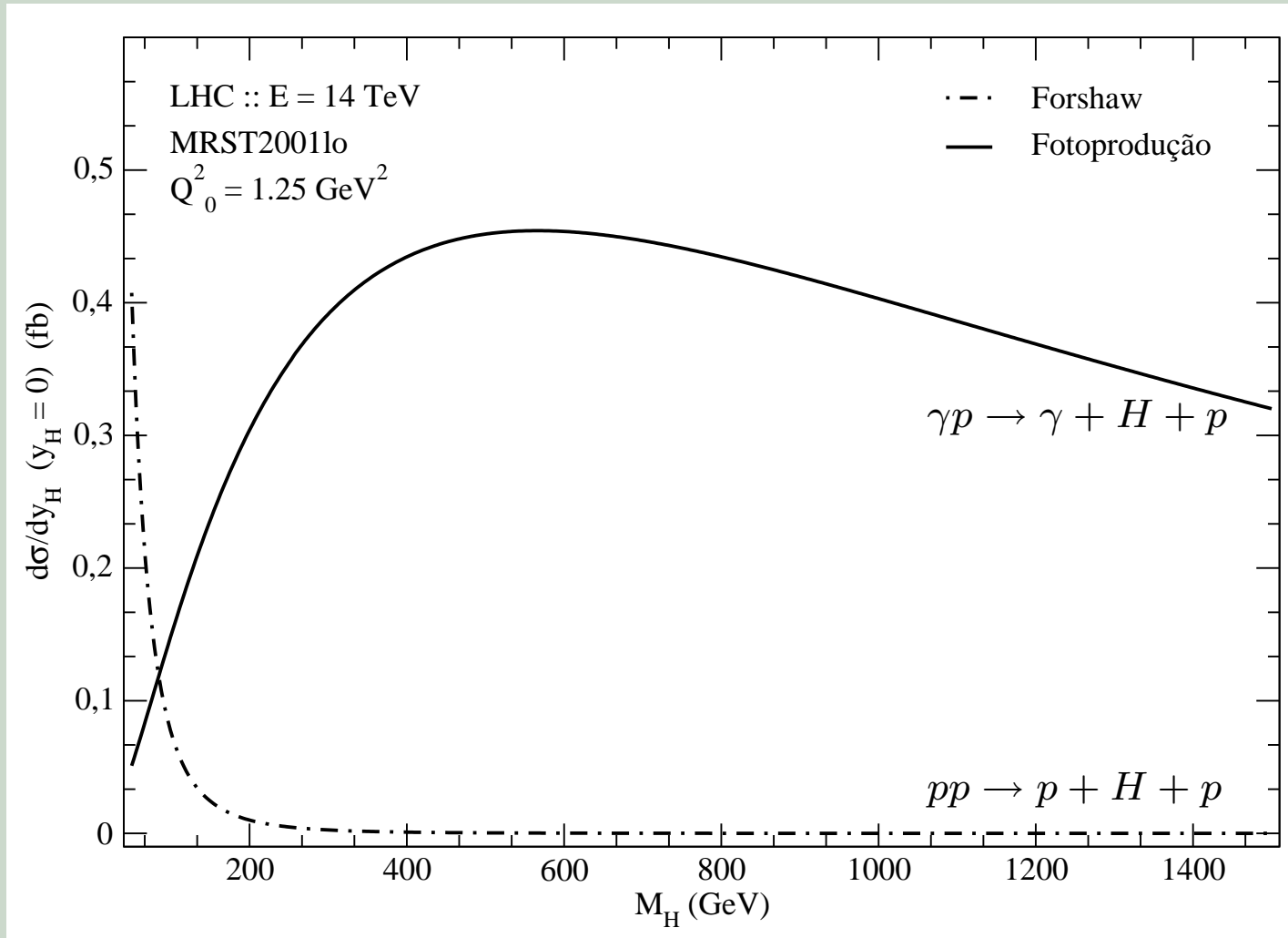
- Seção de choque diferencial para produção em rapidez central $50 \text{ GeV} < M_H < 200 \text{ GeV}$:



Resultados: Forshaw versus Fotoprodução (II)



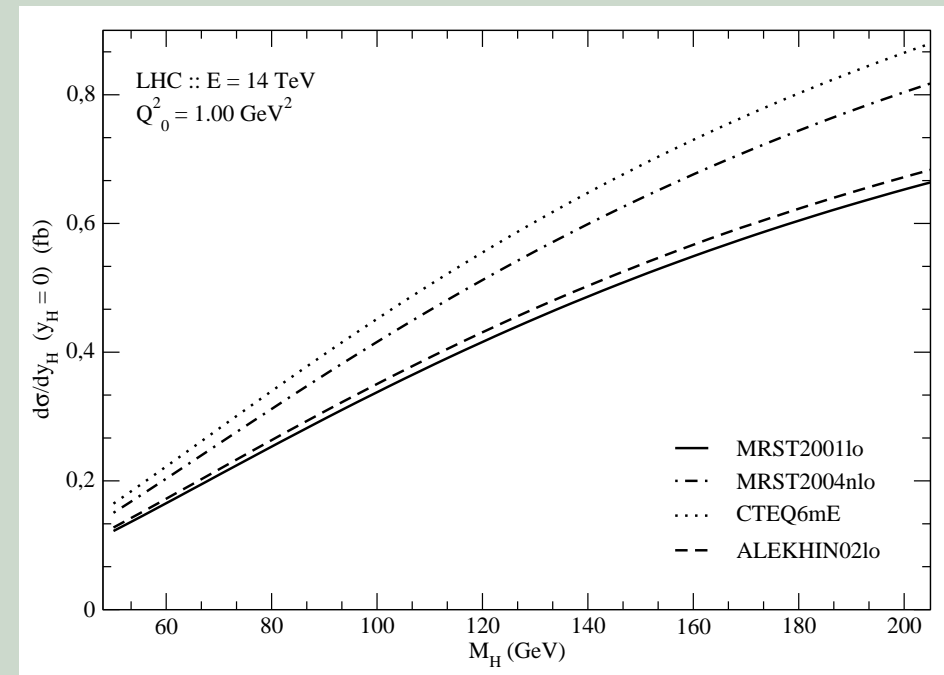
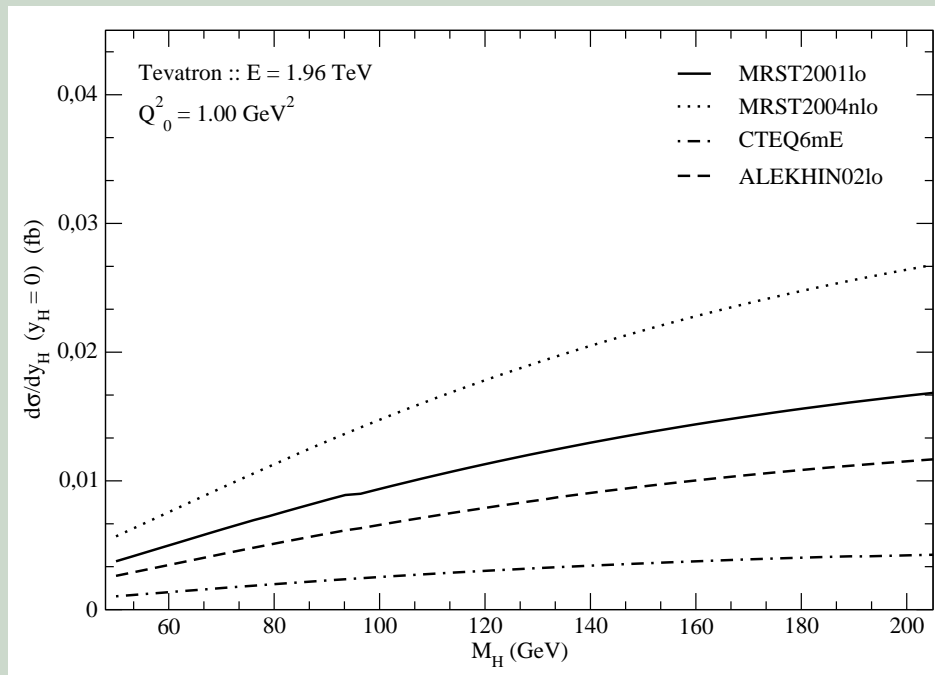
- Seção de choque diferencial para produção em rapidez central $50 \text{ GeV} < M_H < 1.5 \text{ TeV}$:



Resultados: Parametrizações (I)



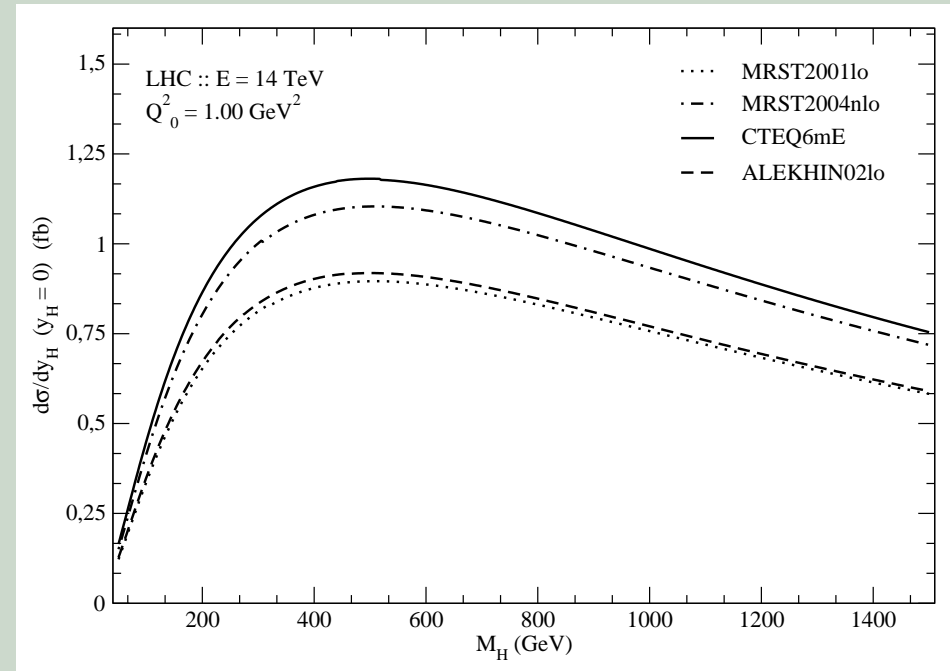
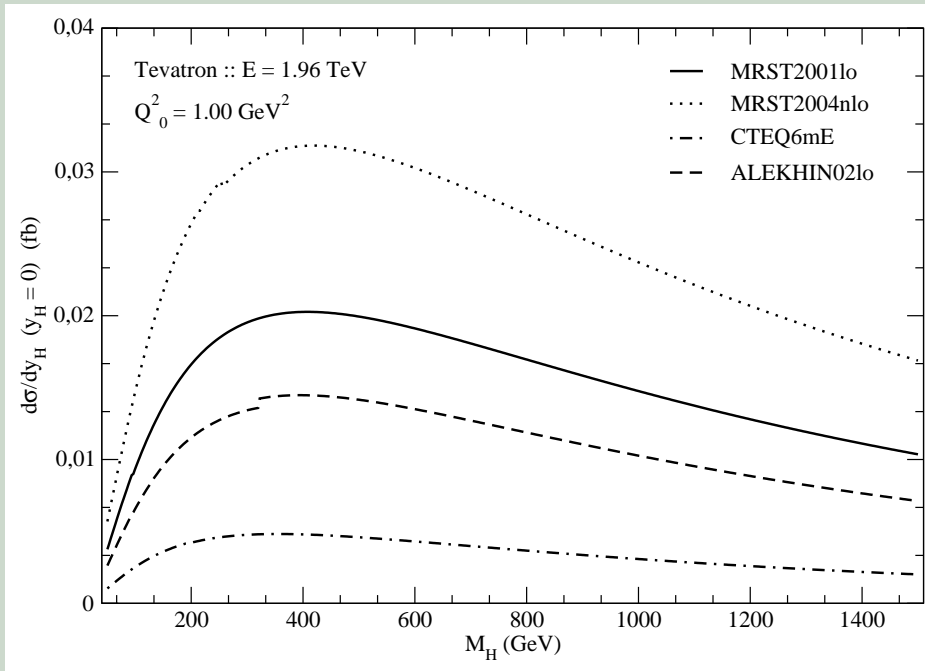
- Seção de choque diferencial para produção em rapidez central $50 \text{ GeV} < M_H < 200 \text{ GeV}$:



Resultados: Parametrizações (II)



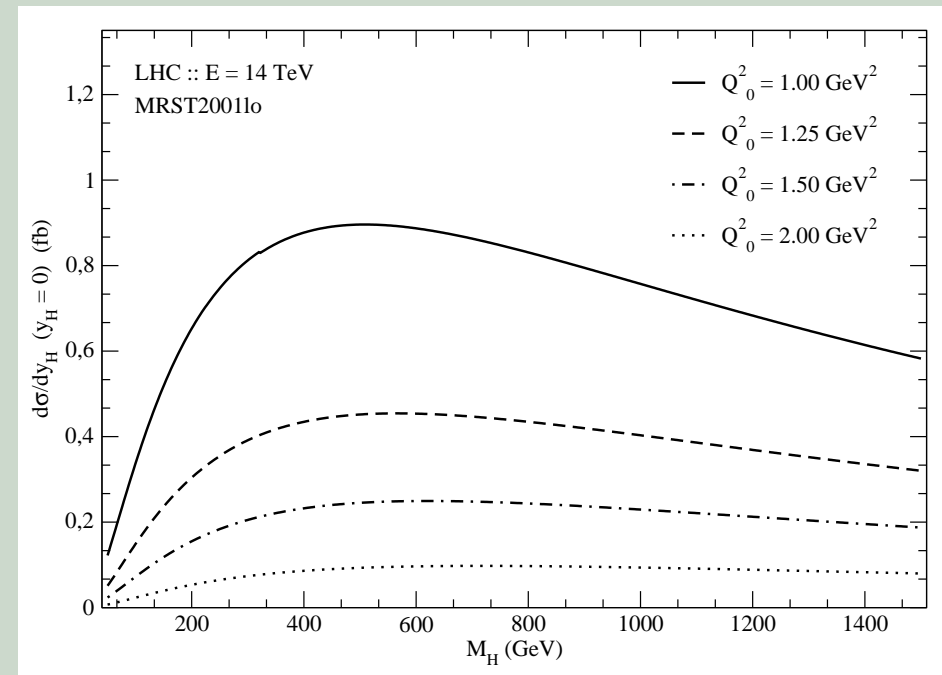
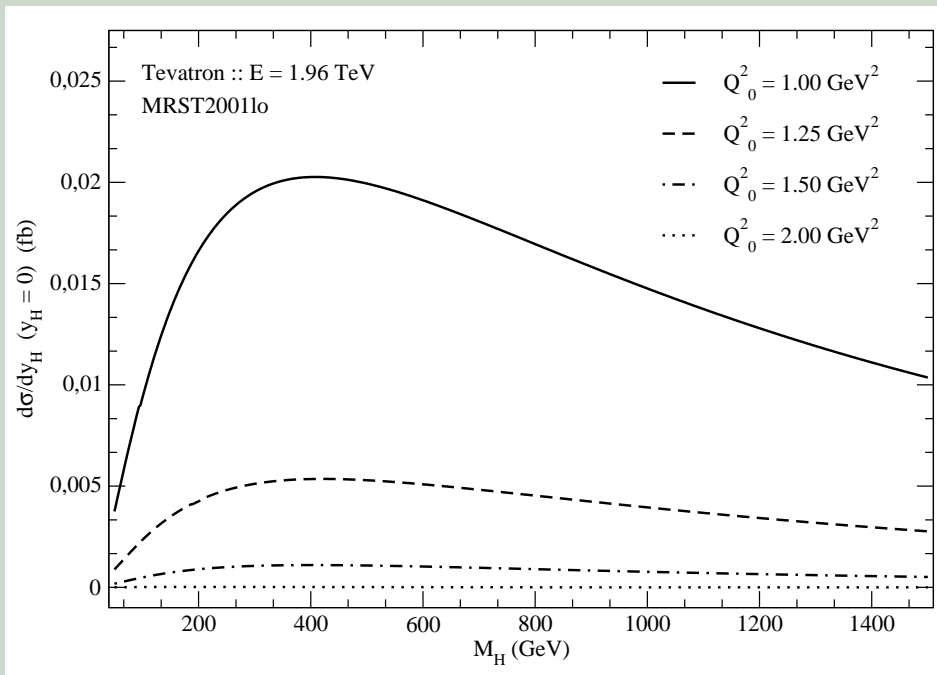
- Seção de choque diferencial para produção em rapidez central $50 \text{ GeV} < M_H < 1.5 \text{ TeV}$:



Resultados: Corte em \vec{Q}



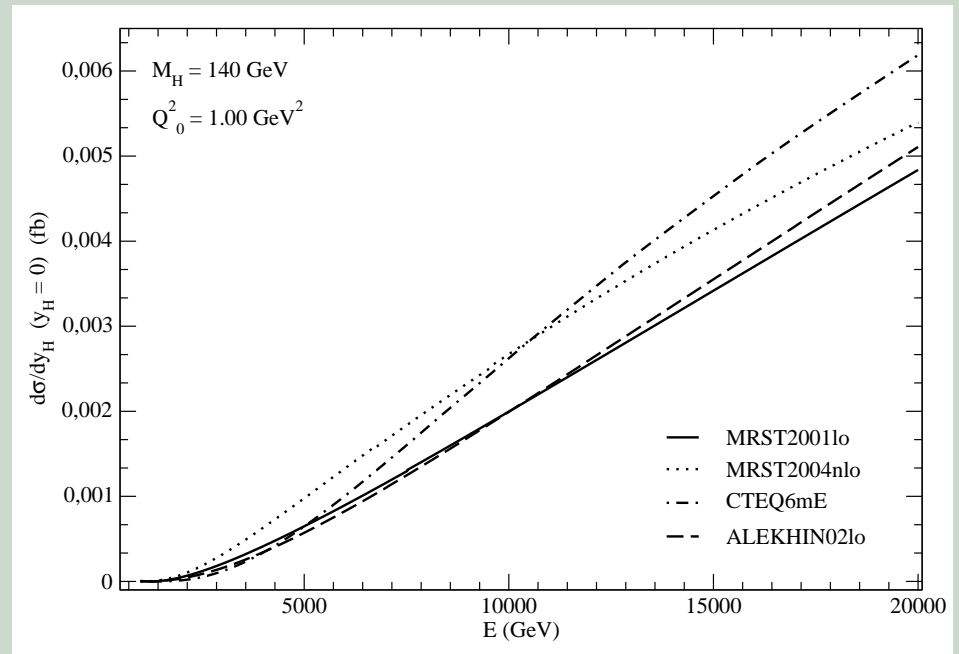
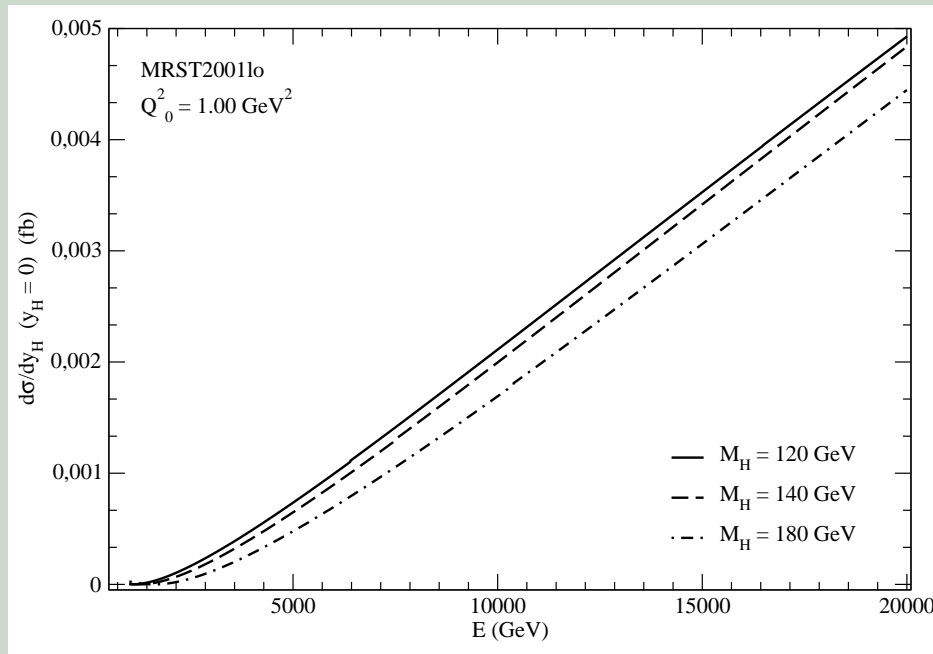
- Seção de choque diferencial para produção em rapidez central $50 \text{ GeV} < M_H < 1.5 \text{ TeV}$:



Resultados: Dependência em energia



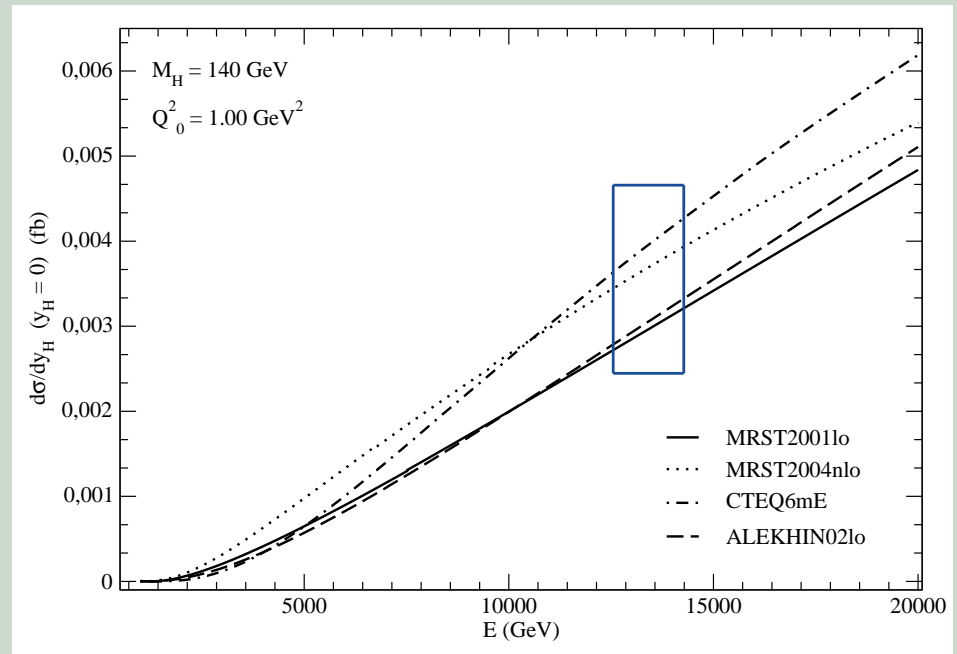
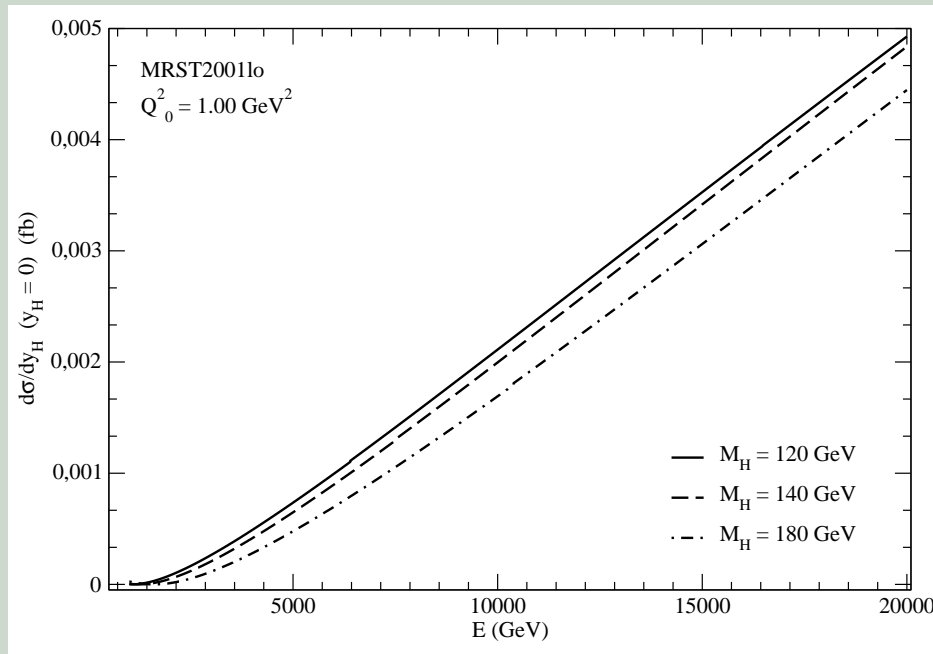
- Seção de choque diferencial para produção em rapidez central $500 \text{ GeV} < \sqrt{s} < 20 \text{ TeV}$:



Resultados: Dependência em energia



- Seção de choque diferencial para produção em rapidez central $500 \text{ GeV} < \sqrt{s} < 20 \text{ TeV}$:



Conclusões



- Resultados significativos para a produção difrativa do bóson de Higgs através da interação γp ;
 - Maior taxa de eventos de produção previstos no intervalo de massa de intermediária;
 - ⋈ Previsão em torno de **três** vezes maior na região de massa de interesse.
 - Comportamento crescente da seção de choque diferencial.
- Contribuições distintas entre parametrizações em precisão LO e NLO;
 - Predição em torno de 20% maior para NLO em comparação com LO.
- Evidência de uma sensibilidade da integral em relação aos cortes em \vec{Q} ;
 - Acarreta em uma análise mais aprofundada do processo em relação aos cortes na integral.

Perspectivas



- Analisar esta abordagem sob outros aspectos:
 - Produção de Higgs em colisões periferais;
 - Utilizar correções em NLO para o vértice de produção;
 - Estudo da produção de bósons de Higgs Supersimétricos.

Sobrevivência da lacuna de rapidez



- A lacuna de rapidez prevista teoricamente é maior do que aquela medida experimentalmente;
 - Ocorrem processos secundários que populam a lacuna de rapidez.
- Para compensar este fato pode se considerar a probabilidade de sobrevivência da lacuna de rapidez;
- A probabilidade de sobrevivência definida por Bjorken é representada por

$$S_{gap}^2 = \frac{\int |\mathcal{M}(s, b)|^2 e^{-\Omega(b)} d^2b}{\int |\mathcal{M}(s, b)|^2 d^2b}$$

- Este cálculo depende das quantidades:
 - Massa do bóson produzido: **bóson de Higgs**;
 - Energia de centro-de-massa empregada.